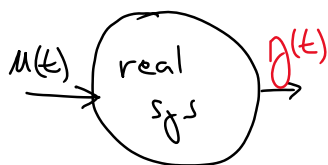


FCH



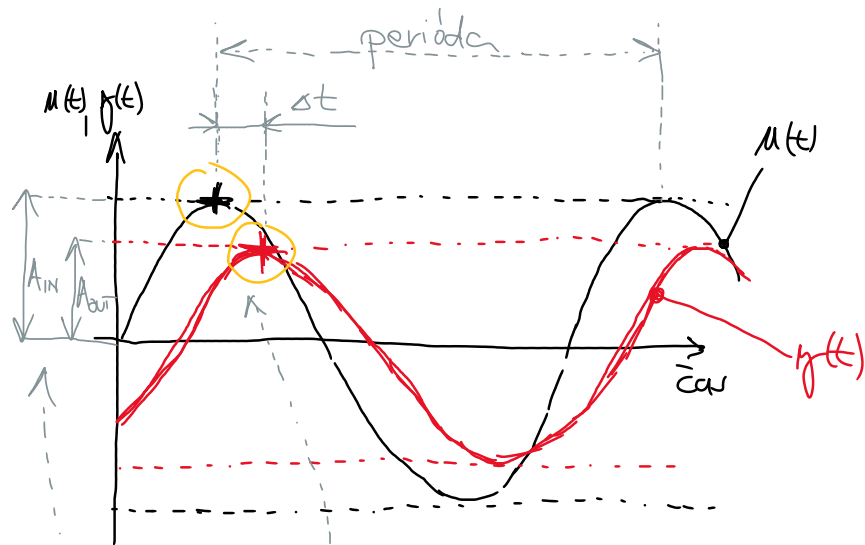
$$u(t) = A_{IN} \sin(\omega t)$$

... jednotková
amplitúda

$$\omega = 2\pi f$$

$$y(t) = ?$$

- iná amplitúda
- iná "fáza"



**ROVNAKÁ
FREKVENCIA!**

model:

$$G(s) = \frac{B(s)}{A(s)} = \frac{B(s)}{(s+s_1)(s+s_2)\dots(s+s_n)}$$

$$Y(s) = G(s)U(s)$$

$$U(s) ? \quad u(t) = \sin(\omega t)$$

$$U(s) = \frac{\omega}{s^2 + \omega^2}$$

$$Y(s) = G(s) \left[\frac{\omega}{s^2 + \omega^2} \right]$$

↓
parc. zlomky ... → y(t) ...

$$G(s) \left[\frac{\omega}{(s+j\omega)(s-j\omega)} \right] = \frac{A}{s+j\omega} + \frac{A^*}{s-j\omega} + \frac{B_1}{s+s_1} + \frac{B_2}{s+s_2} + \dots + \frac{B_n}{s+s_n}$$

komplexne
zložené k A

$$y(t) = A e^{-j\omega t} + A^* e^{j\omega t} + B_1 e^{-s_1 t} + B_2 e^{-s_2 t} + \dots + B_n e^{-s_n t}$$

$$y(t) = \underbrace{Ae^{-j\omega t} + A^*e^{j\omega t}}_{\text{ak stabil. systém tak tieto výrazy } \rightarrow \mathbb{Q}} + \underbrace{B_1e^{-s_1t} + B_2e^{-s_2t} + \dots + B_ne^{-s_nt}}_{\text{(aj v prípade viacnásobného pólu)}}$$

"frekvenčný" ustálený stav:

$$y_{FUS}(t) = Ae^{-j\omega t} + A^*e^{j\omega t}$$

$$A, A^* = ?$$

$$Y_{FUS}(s) = G(s) \left[\frac{\omega}{(s+j\omega)(s-j\omega)} \right] = \frac{A}{s+j\omega} + \frac{A^*}{s-j\omega}$$

$$G(s)\omega = A(s-j\omega) + A^*(s+j\omega)$$

$$s = j\omega \quad G(j\omega)\omega = A^*(j\omega + j\omega) \quad A^* = \frac{G(j\omega)}{2j}$$

$$s = -j\omega \quad G(-j\omega)\omega = A(-j\omega - j\omega) \quad A = \frac{G(-j\omega)}{-2j}$$

$$G(j\omega) = |G(j\omega)| e^{j\phi} \quad \begin{matrix} \swarrow \text{veľkosť} \\ \searrow \text{úhol} \end{matrix}$$

$$G(-j\omega) = |G(-j\omega)| e^{j\phi} = |G(j\omega)| e^{-j\phi}$$

$$y_{FUS}(t) = \frac{|G(j\omega)| e^{-j\phi} e^{-j\omega t}}{-2j} + \frac{|G(j\omega)| e^{j\phi} e^{j\omega t}}{2j}$$

$$y_{FUS}(t) = |G(j\omega)| \left(\frac{-e^{-j(\omega t + \phi)} + e^{j(\omega t + \phi)}}{2j} \right)$$

$$= |G(j\omega)| \left(\frac{e^{j(\omega t + \phi)} - e^{-j(\omega t + \phi)}}{2j} \right)$$

platí:

$$e^{j(\omega t + \phi)} = \cos(\omega t + \phi) + j \sin(\omega t + \phi)$$

$$e^{-j(\omega t + \phi)} = \cos(-(\omega t + \phi)) + j \sin(-(\omega t + \phi))$$

cos je párna fcn, sin nepárna...

$$= \cos(\omega t + \phi) - j \sin(\omega t + \phi)$$

$$f_{Fus}(t) = |G(j\omega)| \left(\frac{\cancel{\cos(\omega t + \phi)} + j \sin(\omega t + \phi) - (\cancel{\cos(\omega t + \phi)} - j \sin(\omega t + \phi))}{2j} \right)$$

$$f_{Fus}(t) = |G(j\omega)| \left(\frac{j \sin(\omega t + \phi) + j \sin(\omega t + \phi)}{2j} \right)$$

$$f_{Fus}(t) = |G(j\omega)| \sin(\omega t + \phi)$$

amplitúda
... iná ako A_{IN}

fázové posunutie

prípomeime: $G(j\omega) = |G(j\omega)| e^{j\phi}$

komplexné
číslo

veľkosť

uhol

ak poznáme $G(s)$

zaujímá nás "frekvenčný ustálený stav" pre frekvencia ω

poznáme teda $G(j\omega)$

$|G(j\omega)|$ ← amplitúdové zosilnenie (závisí na ω)

ϕ ← fázové posunutie (závisí na ω)

"frekvenčná
prenosová
funkcia"

frekvenčné charakteristiky

FCH

AFCH

FFCH

Bodeho diagram

decibel [dB]

... jednotka pre zesilovanie

napríklad:

$|G(j\omega)|$ je veľkosť komplexného čísla

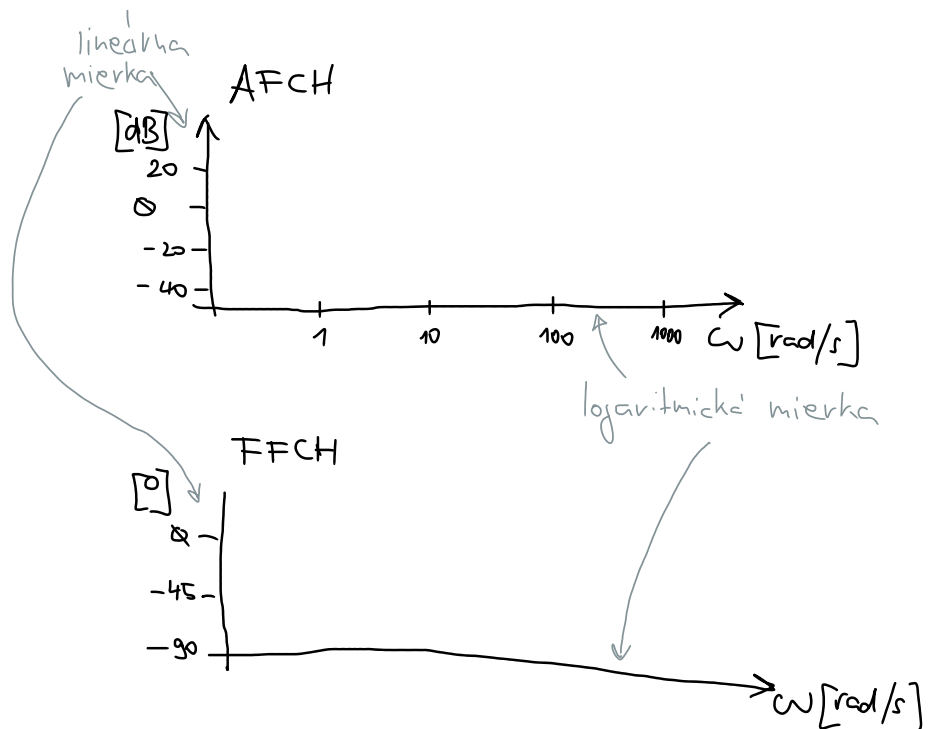
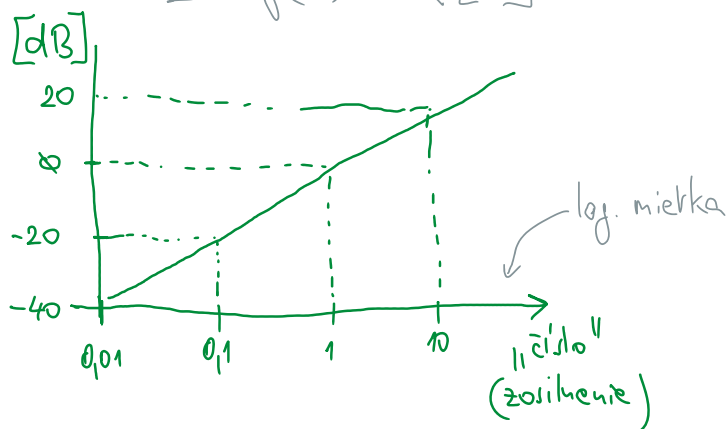
"Logaritmicke veľkosť" potom je

$$20 \log(|G(j\omega)|)$$

kde log je pri základe 10

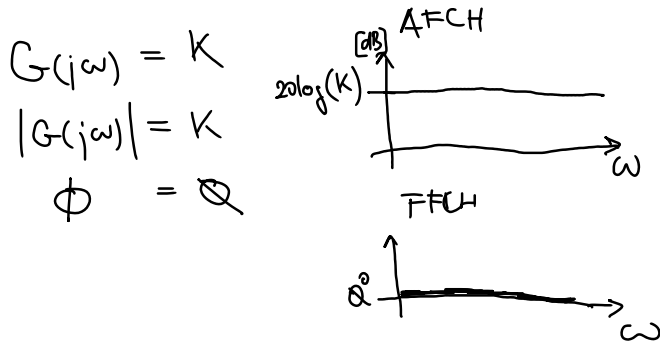
napríklad "jednotkové" zesilovanie

$$20 \log(1) = 0 \text{ [dB]}$$



Bodeho diagram pre:

$$G(s) = K \quad (\text{len zesilovanie})$$



minochodom:

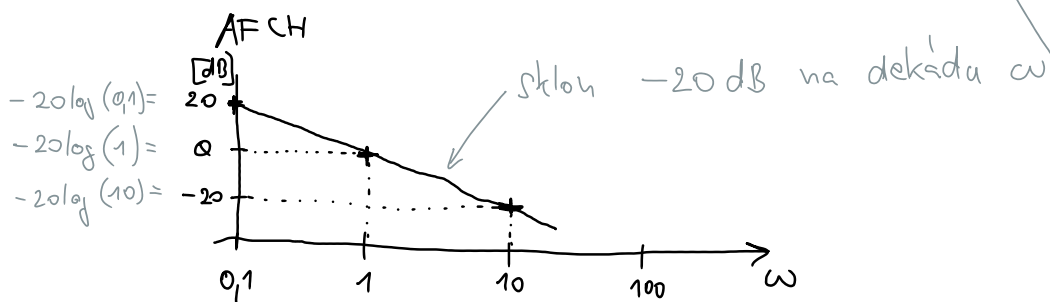
$$\begin{aligned}
 a + jb &= \sqrt{a^2 + b^2} \angle \arctan\left(\frac{b}{a}\right) \\
 |a + jb| &= \sqrt{a^2 + b^2} \\
 \angle a + jb &= \arctan\left(\frac{b}{a}\right)
 \end{aligned}$$

Bodeho diag. pre $G(s) = \frac{1}{s}$

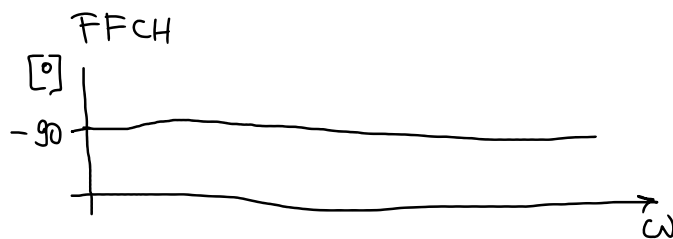
$$G(j\omega) = \frac{1}{j\omega} \quad \frac{1}{j\omega} \cdot \frac{-j\omega}{-j\omega} = \frac{-j\omega}{\omega^2} = \frac{-j}{\omega} = 0 + j\frac{1}{\omega}$$

$$|G(j\omega)| = \frac{1}{\omega} \quad 20 \log\left(\frac{1}{\omega}\right) = 20 (-\log(\omega)) = -20 \log(\omega)$$

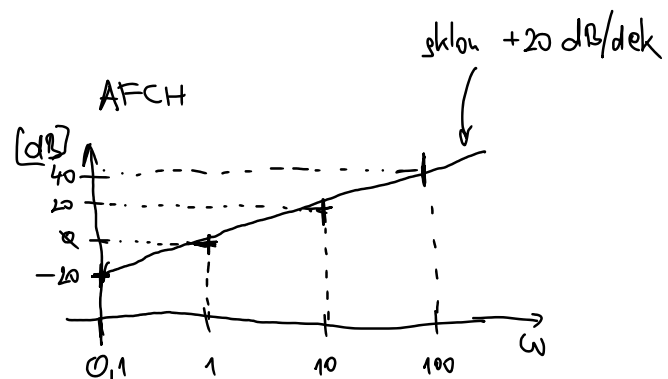
$$\begin{aligned}
 |G(j\omega)| &= \sqrt{0^2 + \frac{1}{\omega^2}} \\
 &= \sqrt{\frac{1}{\omega^2}} \\
 &= \frac{1}{\omega}
 \end{aligned}$$

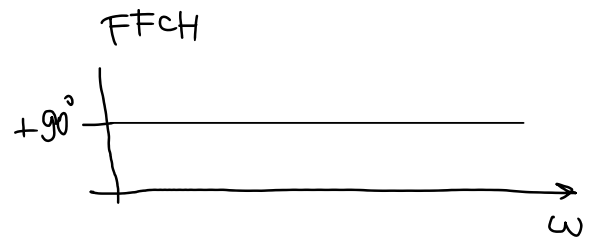


$$\phi = \arctan\left(\frac{1}{\omega}\right) = \arctan(\infty) = -90^\circ$$



Bodeho diagram pre $G(s) = s$





T má rozmer [cas]
 $\frac{1}{T}$ je frekvencia...

$$G(s) = \frac{1}{Ts + 1}$$

$$G(j\omega) = \frac{1}{Tj\omega + 1}$$

$$\frac{1}{1+jT\omega} \cdot \frac{1-jT\omega}{1-jT\omega} = \frac{1-jT\omega}{1+T^2\omega^2} = \frac{1}{1+T^2\omega^2} + j \frac{T\omega}{1+T^2\omega^2}$$

$$\begin{aligned} |G(j\omega)| &= \sqrt{\left(\frac{1}{1+T^2\omega^2}\right)^2 + \left(\frac{T\omega}{1+T^2\omega^2}\right)^2} \\ &= \sqrt{\frac{1+T^2\omega^2}{(1+T^2\omega^2)^2}} \\ &= \sqrt{\frac{1}{1+T^2\omega^2}} = \frac{1}{\sqrt{1+T^2\omega^2}} \end{aligned}$$

$$|G(j\omega)| = \frac{1}{\sqrt{1+T^2\omega^2}}$$

$$20 \log\left(\frac{1}{\sqrt{1+T^2\omega^2}}\right) = -20 \log(\sqrt{1+T^2\omega^2})$$



$$\omega \ll \frac{1}{T}$$

$$|G(j\omega)| = -20 \log(1) = 0 \text{ [dB]}$$

$$\omega \gg \frac{1}{T}$$

$$|G(j\omega)| = -20 \log(\sqrt{1+T^2\omega^2}) \approx -20 \log(T\omega) \text{ [dB]}$$

$$1 \ll T^2\omega^2$$



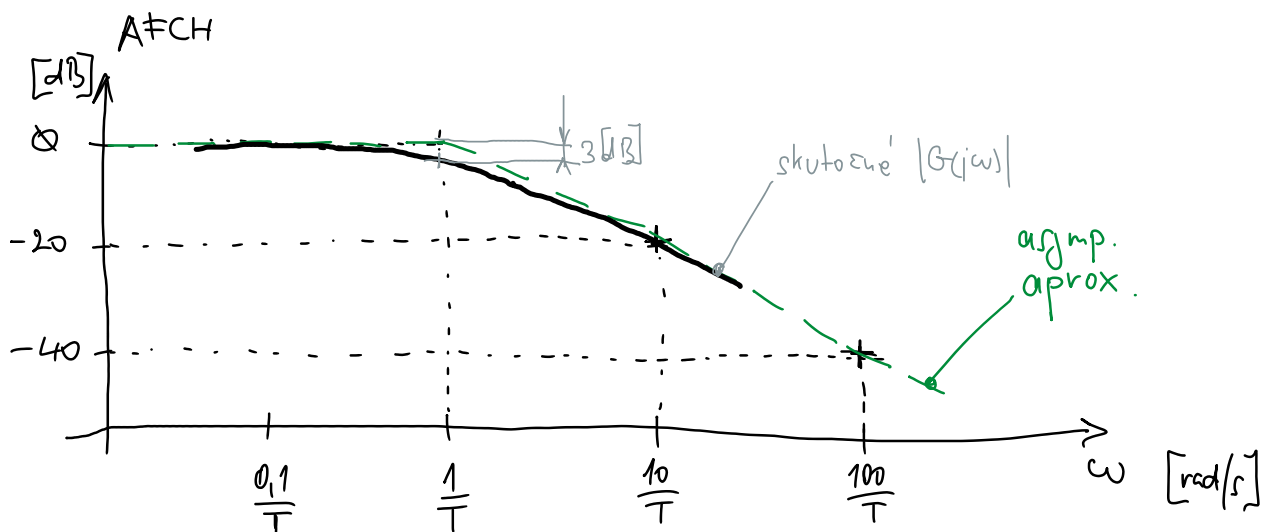
$$\sqrt{T^2\omega^2}$$

$$\omega = \frac{1}{T}$$

$$|G(j\omega)| = -20 \log(\sqrt{1+1}) = -20 \log(\sqrt{2}) \approx -20 \cdot 0.15 = -3 \text{ [dB]}$$

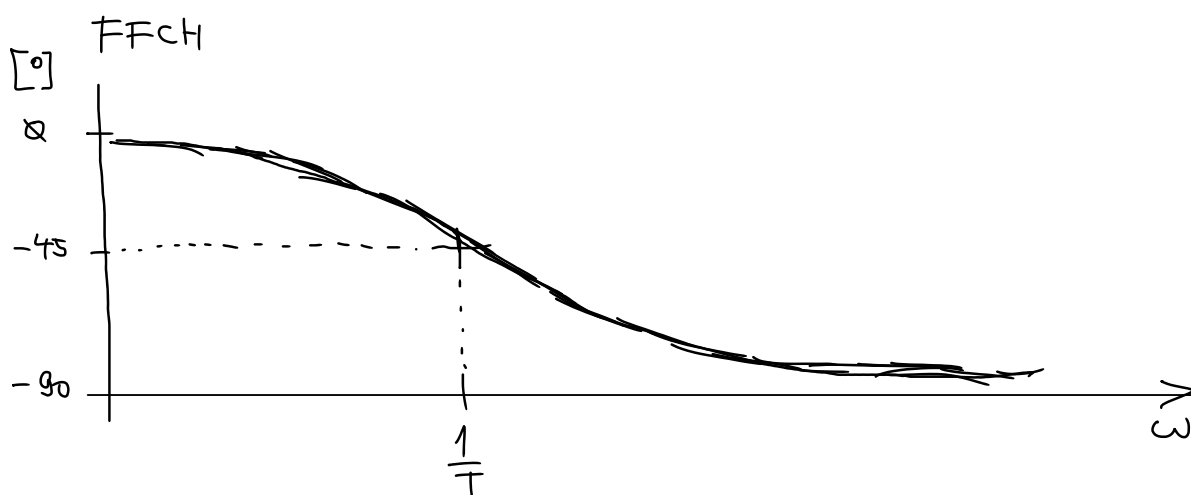
$$\angle G(j\omega) = -\arctan\left(\frac{\frac{T\omega}{(1+T^2\omega^2)}}{\frac{1}{(1+T^2\omega^2)}}\right) = -\arctan(T\omega)$$

ω	aprox. $ G(j\omega) \text{ [dB]}$
$\frac{1}{T}$	0
$\frac{10}{T}$	-20
$\frac{100}{T}$	-40



$$\phi = -\arctan(T\omega)$$

ω	$\phi [^\circ]$
0	0
$\frac{1}{T}$	-45
∞	-90



$$G(s) = \frac{1}{Ts + 1}$$

← obrátený výraz oproti $\frac{1}{Ts + 1}$

Výhoda Bodeho diagramu...
(použitie $20 \log(|G(j\omega)|)$)

platí totiž:

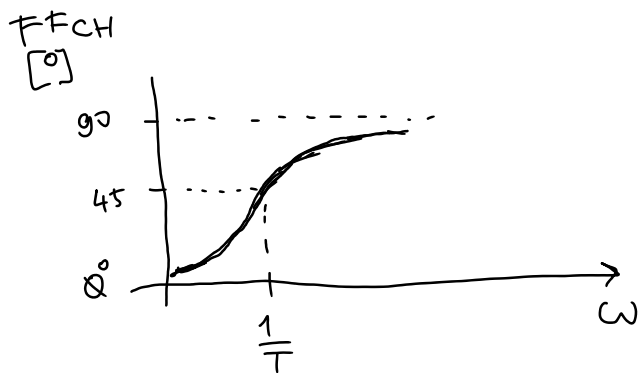
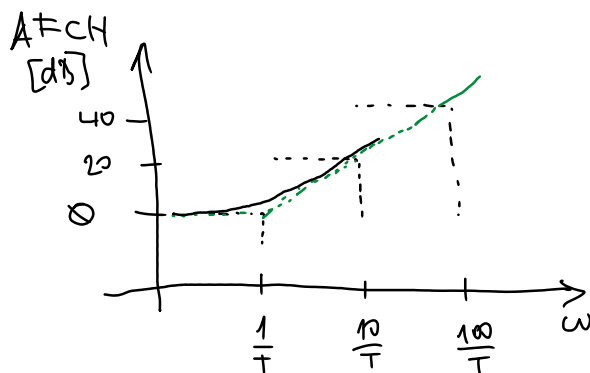
platí totiž:

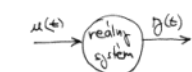
$$\textcircled{+} 20 \log(|T_{j\omega} + 1|) = \textcircled{-} 20 \log\left(\left|\frac{1}{T_{j\omega} + 1}\right|\right)$$

len opačné znamienko...

$$\textcircled{+} \angle T_{j\omega} + 1 = \arctan(T\omega) = \textcircled{-} \angle \frac{1}{T_{j\omega} + 1}$$

Takže:

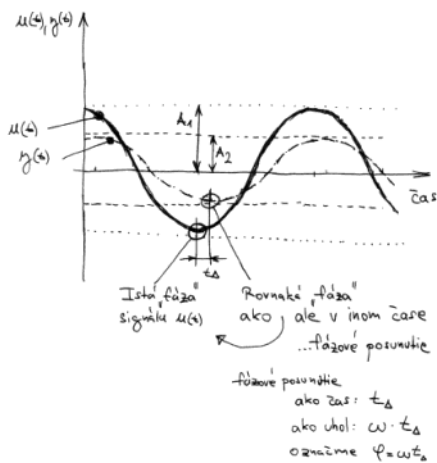




$$u(t) = A_1 \cos(\omega t)$$

amplitúda A_1 frekvencia ω

ustálený stav
"ustálená situácia"
 $y(t) = ?$
!!! frekvencia rovnaká ako $u(t)$
- iná amplitúda A_2
- tzv. fázový posun



$$y(t) = A_2 \cos(\omega t + \varphi)$$

Amplitúdové zosilnenie A

Nech $A_1 = 1$ [jednotka]

$$A = \frac{A_2}{A_1}$$

Závislé od ω ...

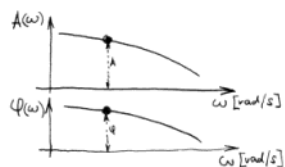
$$A(\omega)$$

$$\varphi(\omega)$$

Amplitúdová
frekvencia
charakteristika
AFCH

~~Frekvencia~~
Fázová
Frekvencia
charakteristika
FFCH

x y graf:



polárne súradnice:

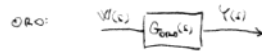


MRS OS (veľa verzií)

strana 5

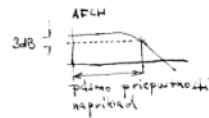
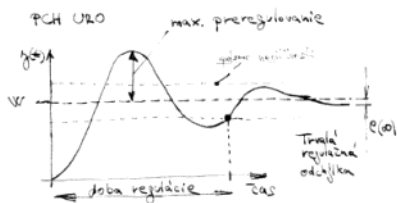


FCH ORO a návrh URO



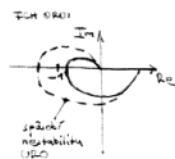
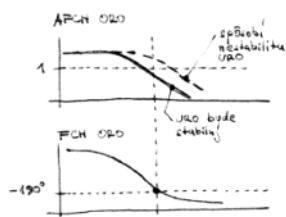
Na základe FCH ORO
je možné zobrať sa nasledujúcimi
vlastnosťami URO

- stabilita URO - Nyquistovo kritérium
- Trvalá regulačná odchýlka URO $e(\infty)$ $e(\infty)$ sa znižuje ak $A(\infty)$ sa zvyšuje pri nízkych ω
amplitúdové zesilovanie ORO
- Preregulovanie URO \rightarrow je menšie ak bezpečnosť (rezerva) vo fázе je väčšia
- Doba regulácie URO \rightarrow je kratšia ak pásmo priepustnosti ORO je väčšie



Nyquistovo kritérium
stability (veľa dôkazov...)

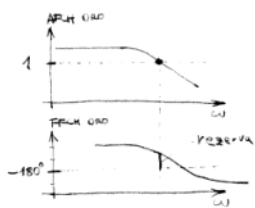
URO je stabilný ak
AFCH ORO má hodnotu
menej ako 1 (20dB) pri
frekvencii kde FCH ORO
má hodnotu 180°



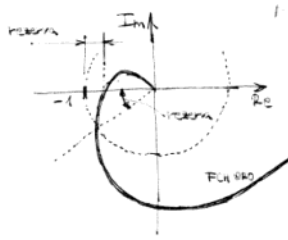
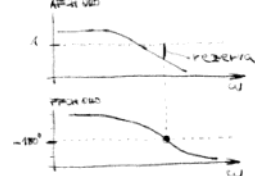
MRS US (Beta verzia)

strana 6

Rezerva vo fázě



Rezerva v amplitúde (v desibelech)



Tabulka pr. Z-N metoda:

	P	T_z	T_D
P	$0,5 P_K$		
PI	$0,4 P_K$	$0,8 T_K$	
PID	$0,6 P_K$	$0,5 T_K$	$0,12 T_K$

Ak ORO na hraně stability

tak pro PCH ORO platí:

$$A(\omega) = 1$$

$$\varphi(\omega) = -\pi$$

Ako detekovat ORO na hraně stability?

Zmenou zesílení ORO, a teda P-regulatora

$$\text{Například: } G_K(s) = P \quad G_O(s) = \frac{1}{(s+1)^3}$$

$$G_{OAO}(s) = \frac{P}{(s+1)^3}$$

$$G_{OAO}(j\omega) = \frac{P}{(j\omega+1)^3} = \frac{P(3-j3\omega^2)}{(\omega^2+1)^3} = \frac{P(3-j3\omega^2)}{(\omega^2+1)^3}$$

$$= U(\omega) + jV(\omega)$$

Kritická zesílení

$$U(\omega_K) = 1$$

$$V(\omega_K) = 0$$

$$V(\omega_K) = \frac{P\omega_K(3-\omega_K^2)}{(\omega_K^2+1)^3} = 0$$

$$\omega_K^2 = 3 \quad \omega_K = \sqrt{3}$$

$$U(\omega_K) = 1 = \frac{P(3-3\omega_K^2)}{(\omega_K^2+1)^3} \Rightarrow P_K = 8$$

Metoda Zeiglera a Nicholova
je experimentální metoda nastavení parametrů PID regulátoru. Uvažuje se:

$$G_K(s) = P \left(1 + \frac{T_z}{T_I} s + T_D s^2 \right)$$

Postup nastavení parametrů (P, T_I, T_D):

- 1) ORO i.e. s P-regulátorem nastavit na hraně stability (postupně zvyšovat P)
- 2) Získáme tak kritické zesílení P-regulátoru (P_K) a 2 uhlazených kmitů (V_{stupne}), jejich uhlazení perioda kmitů T_K (frekvence $\omega_K = \frac{2\pi}{T_K}$)
- 3) Parametry PID regulátoru potom sčít

... Ak je $G_O(s)$ známa, potom vztých případů je možné T_K a ω_K najít analyticky.

Statičné vlastnosti URO
... teda $e(0)$

Ako sme už v predchádzajúcej kapitole
použili, pre reguláciu s nulovou
statičnou chybou.

Všetchny vlastnosti URO se dá odvoztit
z vlastností transferové funkce
regulátoru $G_R(s)$.

$$\frac{E(s)}{V(s)} = \frac{1}{1 + G_R(s)} = \frac{1}{1 + G_R(s) G_2(s)}$$

$G_R(s) = P$

$$V(s) = \frac{1}{s}$$

$$e(0) = \lim_{s \rightarrow 0} s E(s) = \lim_{s \rightarrow 0} \frac{1}{1 + P G_2(s)}$$

$\frac{1}{P}$

Dynamické vlastnosti URO
... teda - přeregulace
- doba regulace



KOREKČNÍ ZEM

(včetně zvlášť pro lead-lag
kontroler)

Pravděpodobně
korekční člen
(zvlášť princip)

$$G_R(s) = \frac{aTs + 1}{Ts + 1}$$

ak $a > 1$ KČ má předstihu
(Lead controller)

ak $a < 1$ KČ má zpoždění
(Lag controller)

Použití KČ v URO:

